

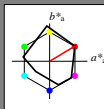
## Eingabe: Farbmatisches Reflexions-System MRS18a

für Buntton  $h^* = lab^*h = 31/360 = 0.086$  $lab^*ch$  und  $lab^*nc$ 

D65: Buntton R

LCH\*Ma: 50 78 31

rgb\*Ma: 1.0 0.0 0.0

Dreiecks-Helligkeit  $t^*$ 

%Umfang  
 $u^*_{rel} = 92$   
%Regulartät  
 $g^*_{H,rel} = 42$   
 $g^*_{C,rel} = 49$

## MRS18a; adaptierte CIELAB-Daten

	$L^* = L^*_a$	$a^*_a$	$b^*_a$	$C^*_{ab,a}$	$h^*_{ab,a}$
RMa	49.63	66.8	40.02	77.87	31
YMa	90.7	-7.27	93.19	93.48	94
GMa	52.11	-69.93	11.26	70.85	171
G50BMa	45.03	-36.65	-27.13	45.61	217
BMa	36.65	23.26	-62.27	66.49	290
B50RMa	34.94	57.27	-43.6	71.99	323
NMa	18.01	0.0	0.0	0.0	0
WMa	95.41	0.0	0.0	0.0	0
RCIE	39.92	58.67	27.97	64.99	25
ICIE	81.26	-2.91	71.56	71.62	92
GCIE	52.23	-42.47	13.58	44.6	162
BCIE	30.57	1.33	-46.48	46.51	272

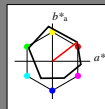
## Ausgabe: Farbmatisches Reflexions-System ORS18

für Buntton  $h^* = lab^*h = 38/360 = 0.105$  $lab^*ch$  und  $lab^*nc$ 

D65: Buntton O

LCH\*Ma: 48 83 38

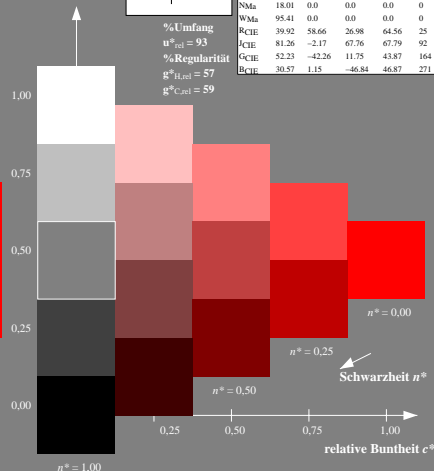
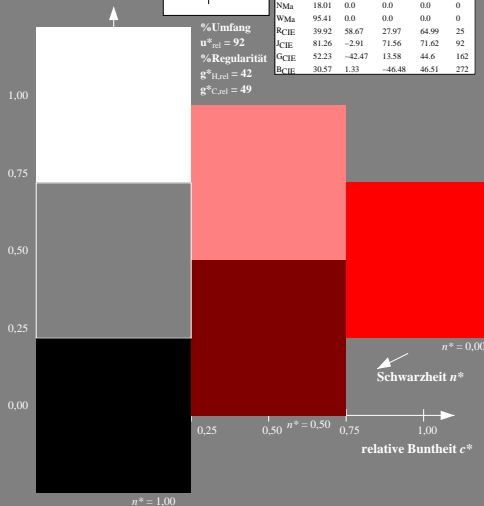
rgb\*Ma: 1.0 0.0 0.0

Dreiecks-Helligkeit  $t^*$ 

%Umfang  
 $u^*_{rel} = 93$   
%Regulartät  
 $g^*_{H,rel} = 57$   
 $g^*_{C,rel} = 59$

## ORS18; adaptierte CIELAB-Daten

	$L^* = L^*_a$	$a^*_a$	$b^*_a$	$C^*_{ab,a}$	$h^*_{ab,a}$
OMa	47.94	63.37	50.52	82.62	38
YMa	90.37	-10.27	91.77	92.34	96
LMa	50.9	-62.79	34.95	71.87	151
CMa	58.62	-30.35	-45.01	54.3	236
VMa	25.71	31.11	-44.42	54.24	305
NMa	18.01	0.0	0.0	0.0	0
WMa	95.41	0.0	0.0	0.0	0
RCIE	39.92	58.66	26.98	64.56	25
ICIE	81.26	-2.17	67.76	67.79	92
GCIE	52.23	-42.26	11.75	43.87	164
BCIE	30.57	1.15	-46.84	46.87	271



TG860-7, 3stufige Reihen für konstanten CIELAB Buntton 31/360 = 0.086 (links)

5stufige Reihen für konstanten CIELAB Buntton 38/360 = 0.105 (rechts)

BAM-Prüfvorlage TG86; Farbmatrik-Systeme MRS18a & ORS18  
D65: 3 und 5stufige Farbreihen für 10 Bunttöneinput: `oly* setrgbcolor`  
output: `no change compared to input`